

Comparaison de procédures d'estimation dans le cadre des modèles non linéaires à paramètres aléatoires

*Application à la modélisation de l'évolution temporelle de
l'indice de surface foliaire de cultures observées par
télédétection spatiale*

Sébastien DÉJEAN

Université Paul Sabatier, Toulouse III

Unité de Biométrie et Intelligence Artificielle, INRA Toulouse



Enjeux du suivi de cultures



Prévision de production



Gestion des marchés de
matières premières agro-alimentaires

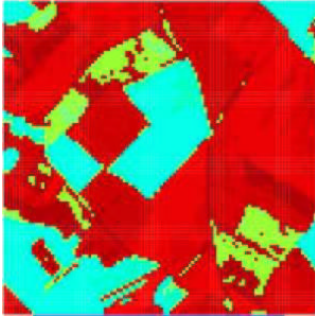
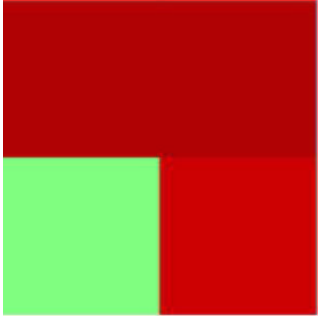
Production = Surface × Rendement



Surface : détermination du POS
Rendement : suivi des cultures

Apports de la télédétection spatiale

Exemple : Satellite SPOT 4

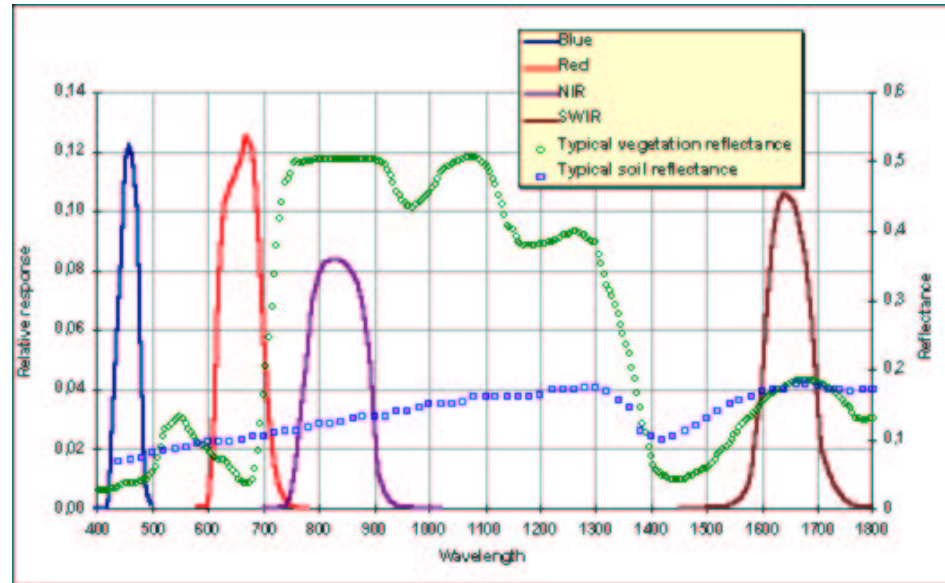
Capteurs	HRVIR	VÉGÉTATION
Fréquence d'acquisition	26 jours	Quotidienne
Résolution spatiale	20 m	1 km
Fauchée	60 km	2250 km
Mesures physiques	Réflectances R et PIR	
Image		
Utilisation	POS	Dynamique temporelle

Désagrégation de pixels mixtes

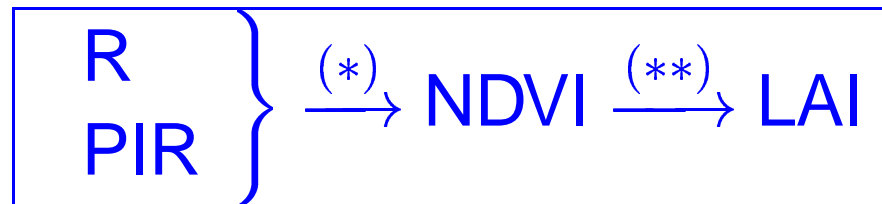
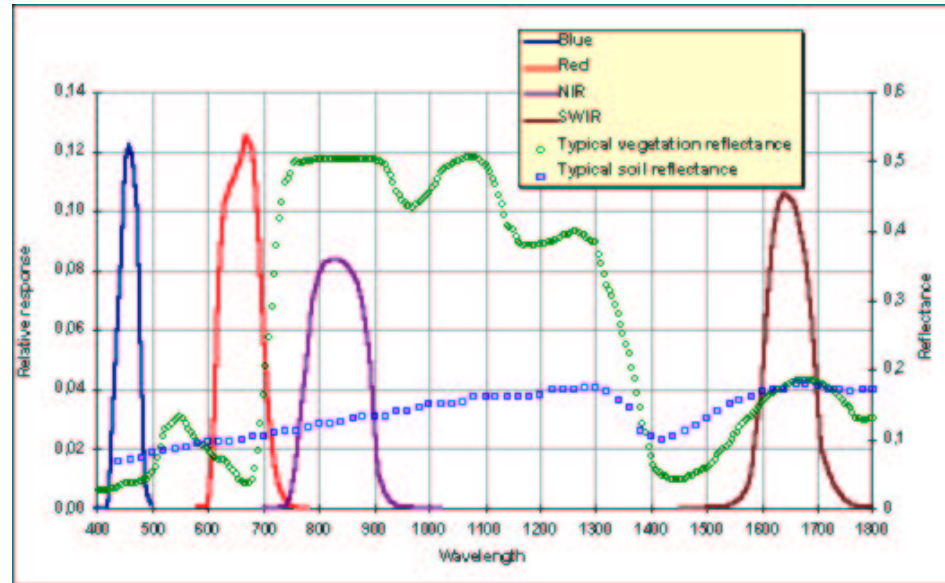
$$R_i = \sum_{k=1}^{N_c} \pi_i^k R_i^k$$

- R_i : réflectance mesurée sur le pixel i
 - π_i^k : pourcentage du thème k sur le pixel i (POS)
 - R_i^k : réflectance **inconnue** du thème k sur le pixel i
- **Estimation des R_i^k** dans un modèle linéaire à paramètres aléatoires (Favre et Fischer, 1997).

Longueur d'onde et structure de la plante



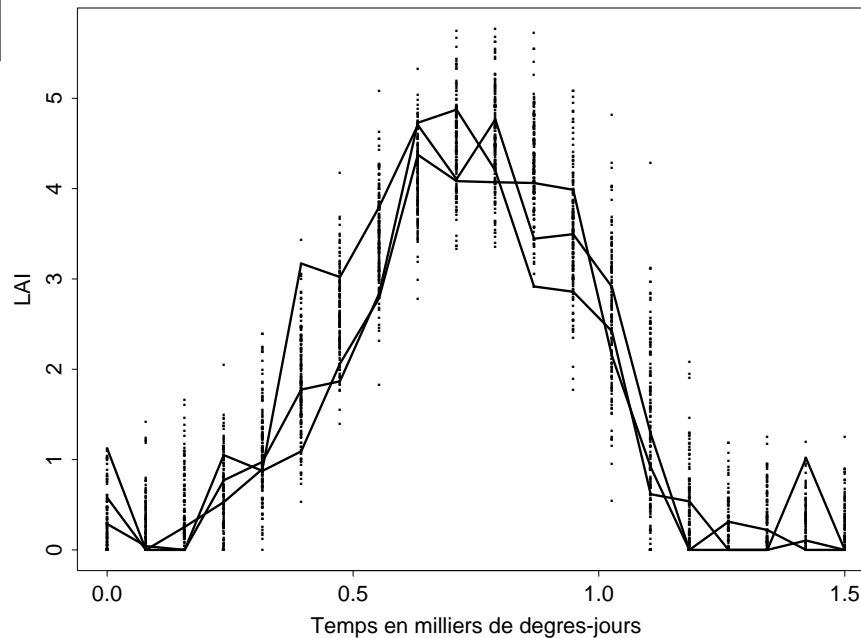
Longueur d'onde et structure de la plante



(*) $NDVI = \frac{PIR - R}{PIR + R}$: distinguer au mieux la végétation.

(**) $LAI = -\frac{1}{\alpha} \log \left(1 - \frac{NDVI - NDVI_s}{NDVI_m - NDVI_s} \right)$: information supplémentaire pour les cultures.

Données : valeurs de LAI de la culture d'intérêt pour chaque pixel à chaque date d'acquisition.



- ➔ Région de 30 à 40 km de côté : **1500** pixels de résolution kilométrique,
- ➔ Synthèse décadaire ou acquisition quotidienne d'images : de **20** à **200** dates sur 6 mois.

Question de recherche

➤ Dans le cadre du suivi de cultures :

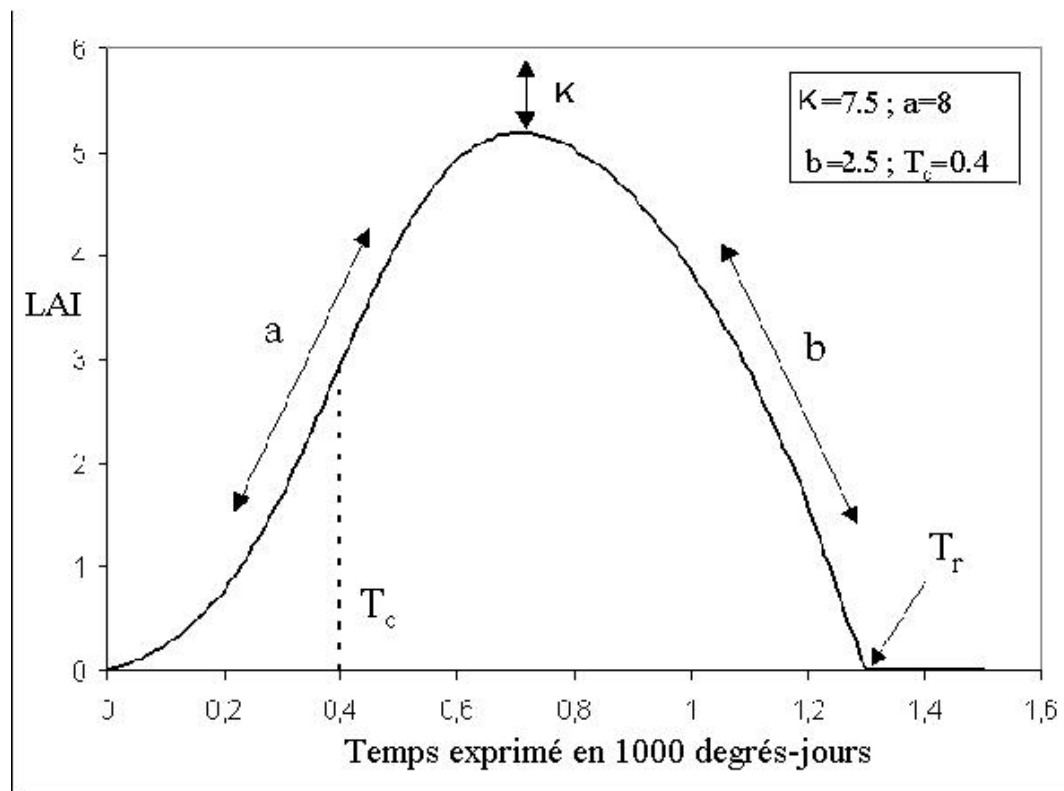
Comment améliorer le couplage de données de télédétection avec un modèle d'évolution temporelle d'un indice traduisant le développement de la culture ?

➤ Question statistique :

Comment améliorer l'estimation des paramètres d'un modèle non linéaire pour l'ajustement à un ensemble de courbes ?

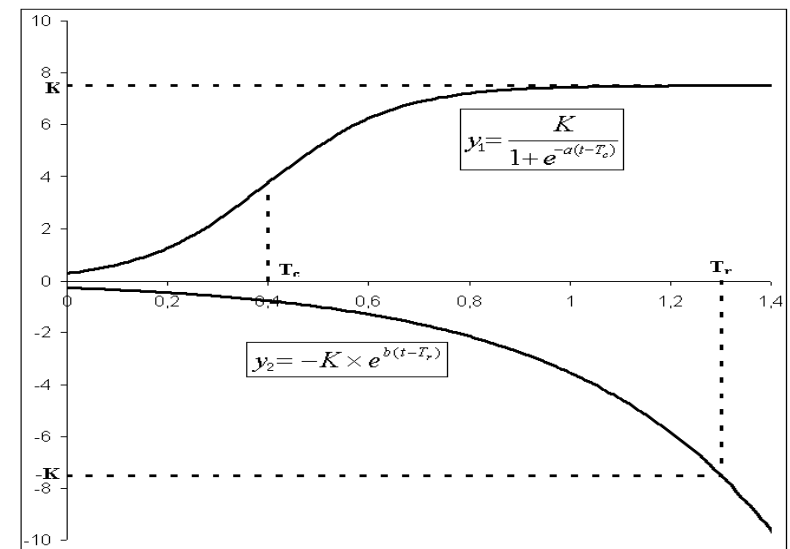
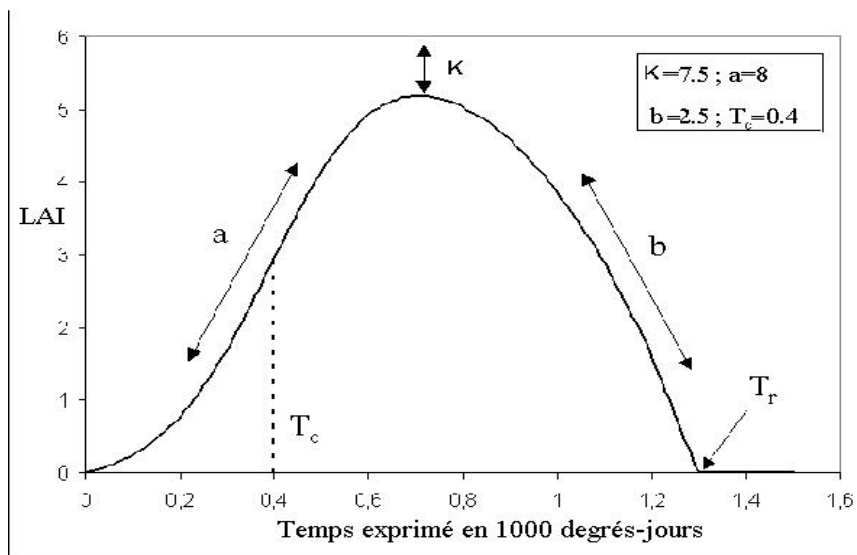
Modèle d'évolution du LAI (Baret, 1986)

$$LAI(t, \beta) = f(t, \beta) = K \left(\frac{1}{1 + e^{-a(t-T_c)}} - e^{b(t-T_r)} \right)$$



Modèle d'évolution du LAI (Baret, 1986)

$$LAI(t, \beta) = f(t, \beta) = K \left(\frac{1}{1 + e^{-a(t-T_c)}} - e^{b(t-T_r)} \right)$$



- K : LAI maximal théoriquement atteint sans sénescence
- a, b : indicateurs des vitesses de croissance et de sénescence
- T_c, T_r : dates significatives du cycle de vie de la plante

➤ *Modélisation et estimation dans le cadre des modèles non linéaires à paramètres aléatoires*

- ↳ traite l'ensemble des pixels simultanément,
- ↳ crée un lien entre les pixels par l'introduction d'une distribution de probabilités sur les paramètres de chaque pixel,
- ↳ permet l'estimation de paramètres locaux (à l'échelle du pixel) et globaux (à l'échelle de l'image).

Modèle non linéaire à paramètres aléatoires

- **Origine** (*Sheiner et al., 1972*) : pharmacologie, suivi de patients
- **But** : modéliser les variabilités intra- et inter-individus
- **Écriture** : Structure hiérarchique
 - Niveau 1 : **variabilité intra-individu**

$$\left\{ \begin{array}{l} Y_i | \beta_i = f(t, \beta_i) + \varepsilon_i \\ E(\varepsilon_i | \beta_i) = 0 \\ \text{COV}(\varepsilon_i | \beta_i) = R_i(\beta_i, \xi) \end{array} \right.$$

- Niveau 2 : **variabilité inter-individus**

$$\beta_i \sim H$$

Modèle paramétrique

$$\begin{cases} Y_{ij} = f(t_j, \beta_i) + \varepsilon_{ij} \\ \beta_i = \beta + B_i \\ B_i \sim \mathcal{N}_p(0, \Gamma) \quad i.i.d. \\ \varepsilon_{ij} \sim \mathcal{N}(0, \sigma_\varepsilon^2) \quad i.i.d. \end{cases}$$

- Paramètres globaux : β , Γ et σ_ε^2
- Paramètres locaux : B_i ou β_i

Vraisemblance :

$$\sum_{i=1}^I \left(\log \left[\int \exp \left(-\frac{1}{2\sigma_\varepsilon^2} \sum_{j=1}^J [Y_{ij} - f(t_j, \beta + B_i)]^2 - \frac{1}{2} B_i^T \Gamma^{-1} B_i \right) dB_i \right] \right)$$

Méthodes d'estimation

- Méthodes de type Standard Two Stage (STS), basées sur les estimations individuelles (*Steimer et al., 1984*).
- Maximum de vraisemblance

V. directe	V. directe appr.	V. indirecte
EM	Approx. laplacienne Monte Carlo Quad. gaussienne	Pseudo-vrais. simulée Linéarisation (← itératif)

Méthode de type STS (Standard Two Stage)

① Estimation des paramètres individuels

$$\tilde{\beta}_i = \arg \min_{\theta} \sum_{j=1}^J [Y_{ij} - f(t_j, \theta)]^2$$

Estimation de la variance asymptotique de $\tilde{\beta}_i$: $\tilde{\Sigma}_i = \frac{\tilde{\sigma}_{\varepsilon}^2}{J} \left[\sum_{j=1}^J \frac{\partial \tilde{f}_j}{\partial \beta_i} \left(\frac{\partial \tilde{f}_j}{\partial \beta_i} \right)^T \right]^{-1}$

② Estimation des paramètres globaux

$$\begin{cases} \tilde{\beta}_{STS} &= \frac{1}{I} \sum_{i=1}^I \tilde{\beta}_i \\ \tilde{\Gamma}_{STS} &= \frac{1}{I-1} \sum_{i=1}^I (\tilde{\beta}_i - \tilde{\beta}_{STS})(\tilde{\beta}_i - \tilde{\beta}_{STS})^T \end{cases}$$

Correction : $\tilde{\Gamma}_{STS} - \frac{1}{I} \sum_{i=1}^I \tilde{\Sigma}_i$

Méthode directe approchée

Laplace	$\int e^{n\psi(\theta)} d\theta \simeq e^{n\psi(\hat{\theta})} \left(\frac{2\pi}{n}\right)^{\frac{1}{2}} \psi'''(\hat{\theta}) ^{-\frac{1}{2}}$
Monte-Carlo	$\int \psi(x) dx = E \left[\frac{\psi(X)}{\phi(X)} \right] \simeq \frac{1}{n} \sum_{k=1}^n \frac{\psi(x_k)}{\phi(x_k)}$
Quadrature	$\int_{-\infty}^{+\infty} e^{-x^2} \psi(x) dx \simeq \sum_{k=1}^n \omega_k \psi(x_k)$

Application au modèle non linéaire à paramètres aléatoires (Pinheiro et Bates, 1995)

➤ **Linéarisation** (*Lindstrom et Bates, 1990*)

Principe : développement de Taylor à l'ordre 1 de la fonction f

⇒ estimation dans un **modèle linéaire**

$$Y_i | B_i \sim \mathcal{N} \left(f(t_j, \hat{\beta}, \hat{B}_i) + \hat{Z}(B_i - \hat{B}_i) + \hat{X}(\beta - \hat{\beta}), \sigma_\varepsilon^2 \right)$$

$$\Rightarrow W_i \sim \mathcal{N} \left(\hat{X}\beta, \sigma_\varepsilon^2 + \hat{Z}^T \Gamma \hat{Z} \right) \text{ avec } W_{ij} = Y_{ij} - f(t_j, \hat{\beta}, \hat{B}_i) + \hat{Z}\hat{B}_i + \hat{X}\hat{\beta}$$

Mise en œuvre : **algorithme itératif** 2 étapes : estimations globales / estimations locales

Convergence des estimateurs

Méthode	Convergence	Réf.
STS	②	Demidenko, 1998
EM	①	Walker, 1996
Laplace	② ?	Vonesh, 1996
Monte Carlo	?	
Quad. gaus.	?	
PVS	①	Nuñez et Concordet, 2002
Linéarisation	②	Demidenko, 1998

① : $I \rightarrow \infty$

② : $I, J \rightarrow \infty$

I : nombre d'individus

J : nombre d'observations par individu

Plan d'expérience pour comparaison

- A. Comparaison linéarisation / approximation numérique (laplacienne, Monte Carlo, quadrature gaussienne).
- B. Comparaison linéarisation / STS (classiquement utilisée en télédétection) ?
- C. Influence de structures spatiales (sur le bruit ou les paramètres) sur l'estimation par linéarisation ?
- D. Sur données réelles, étude des effets croisés de la procédure d'estimation et de la mise en œuvre de la désagrégation.

A. Plan d'expérience

- **Motivations** : Meilleure méthode (critère d'EQM) pour l'estimation des paramètres globaux β, Γ ?
- **Cas de figures** :

a. zone d'étude hétérogène : paramètres aléatoires (Cfg. 1-2),

b. zone d'étude homogène : paramètres constants (Cfg. 3-4).

Simulation : $\beta = (7, 3, 0.5)$, $\Gamma = \text{diag}(\sigma_a, \sigma_b, \sigma_{T_c})$

Config.	σ_a	σ_b	σ_{T_c}	σ_ε
1	0.1	0.1	0.01	0.05
2	0.1	0.1	0.01	0.5
3	0	0	0	0.05
4	0	0	0	0.5

100 répétitions par configuration

A. Mise en œuvre

Nombre d'évaluations de la fonction f jusqu'à convergence :

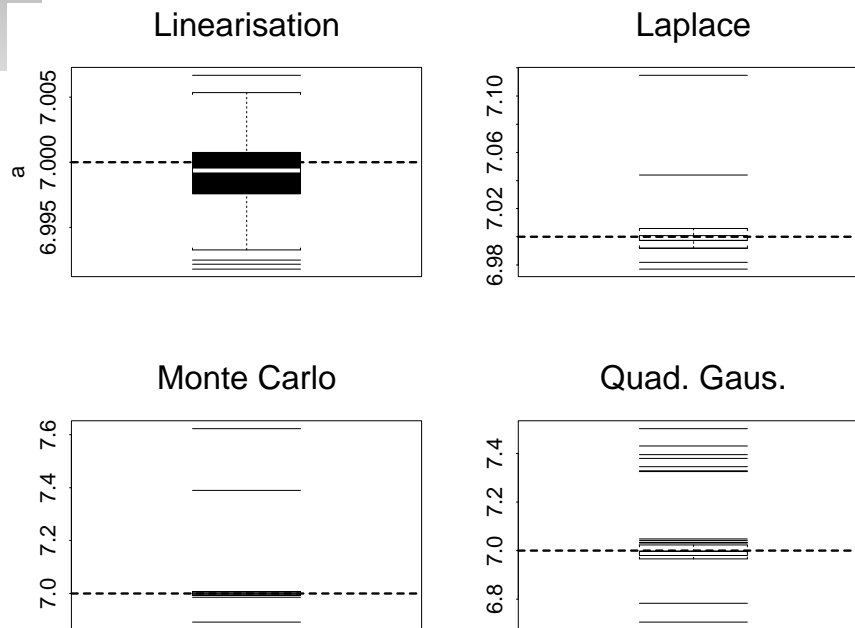
Config.	Laplace	MC	QG
1	80 000	8 500 000	41 500 000
2	100 000	8 300 000	52 500 000
3	92 000	8 700 000	55 200 000
4	96 000	8 200 000	30 300 000

Temps réel : Laplace 20 s, MC 600 s, QG 3600 s

Linéarisation : 1500 s (implémentation différente)

A. Résultats

Exemple : config. 2



- ↳ linéarisation : meilleure méthode sur un critère d'erreur quadratique moyenne,
- ↳ aucune méthode n'améliore significativement les résultats de la linéarisation
- ↳ faible taille d'échantillon des méthodes Monte Carlo et quadrature imposée par la contrainte opérationnelle

➤ Validation pour notre problème de l'estimation par linéarisation

B. Plan d'expérience

➤ Motivations :

- Influence du nombre de paramètres sur la précision des estimateurs ? (Plan 1)
- Influence du nombre de dates sur la précision des estimateurs ? (Plan 2)
- Précision des estimations en fonction du nombre de dates (bruit élevé) ? (Plan 3)

Configuration	Nombre de dates	Paramètres à estimer	σ_ε^2
1	20	(K, a, b, T_c)	0.05^2
2	20	(K, a, b, T_c)	0.5^2
3	20	(a, b, T_c)	0.05^2
4	20	(a, b, T_c)	0.5^2
5	10	(a, b, T_c)	0.05^2
6	10	(a, b, T_c)	0.5^2
7	40	(a, b, T_c)	0.5^2

B. Plan d'expérience

➤ Motivations :

- a. Influence du nombre de paramètres sur la précision des estimateurs ? (*Plan 1*)
- b. Influence du nombre de dates sur la précision des estimateurs ? (**Plan 2**)
- c. Précision des estimations en fonction du nombre de dates (bruit élevé) ? (**Plan 3**)

Configuration	Nombre de dates	Paramètres à estimer	σ_ε^2
1	20	(K, a, b, T_c)	0.05^2
2	20	(K, a, b, T_c)	0.5^2
3	20	(a, b, T_c)	0.05^2
4	20	(a, b, T_c)	0.5^2
5	10	(a, b, T_c)	0.05^2
6	10	(a, b, T_c)	0.5^2
7	40	(a, b, T_c)	0.5^2

B. Plan d'expérience

➤ Motivations :

- a. Influence du nombre de paramètres sur la précision des estimateurs ? (Plan 1)
- b.** Influence du nombre de dates sur la précision des estimateurs ? (Plan 2)
- c. Précision des estimations en fonction du nombre de dates (bruit élevé) ? (Plan 3)

Configuration	Nombre de dates	Paramètres à estimer	σ_ε^2
1	20	(K, a, b, T_c)	0.05^2
2	20	(K, a, b, T_c)	0.5^2
3	20	(a, b, T_c)	0.05^2
4	20	(a, b, T_c)	0.5^2
5	10	(a, b, T_c)	0.05^2
6	10	(a, b, T_c)	0.5^2
7	40	(a, b, T_c)	0.5^2

B. Plan d'expérience

➤ Motivations :

- a. Influence du nombre de paramètres sur la précision des estimateurs ? (Plan 1)
- b. Influence du nombre de dates sur la précision des estimateurs ? (Plan 2)
- c. Précision des estimations en fonction du nombre de dates (bruit élevé) ? (Plan 3)

Configuration	Nombre de dates	Paramètres à estimer	σ_ε^2
1	20	(K, a, b, T_c)	0.05^2
2	20	(K, a, b, T_c)	0.5^2
3	20	(a, b, T_c)	0.05^2
4	20	(a, b, T_c)	0.5^2
5	10	(a, b, T_c)	0.05^2
6	10	(a, b, T_c)	0.5^2
7	40	(a, b, T_c)	0.5^2

B. Résultats

- Non convergence des régressions par pixel : 1% (resp. 10%) dans les configurations faiblement (resp. fortement) bruitées.
- Temps de calcul : linéarisation 10 fois plus long que STS.

B. Résultats

EQM(β_i)	LIN				STS			
Config.	K	a	b	T_c	K	a	b	T_c
1	0.02	0.03	0.04	0.0004	0.1	0.06	0.007	0.00003
2	0.8	0.4	0.07	0.0004	80000	400	50	0.02
3	.	0.04	0.04	0.0004	.	0.002	0.001	0.00001
4	.	0.02	0.03	0.0002	.	0.4	0.2	0.001
5	.	0.03	0.04	0.0003	.	0.005	0.004	0.00003
6	.	0.02	0.03	0.0002	.	14	1	0.01
7	.	0.02	0.03	0.0002	.	0.1	0.06	0.0004

Critère d'EQM sur les estimations individuelles :

$$\text{EQM}(\hat{\beta}_i) = \frac{1}{N} \sum_{n=1}^N \left(\frac{1}{I} \sum_{i=1}^I \left(\hat{\beta}_i^{(n)} - \beta_i^{(n)} \right)^2 \right)$$

B. Résultats

EQM(β_i)	LIN				STS			
Config.	K	a	b	T_c	K	a	b	T_c
1	0.02	0.03	0.04	0.0004	0.1	0.06	0.007	0.00003
2	0.8	0.4	0.07	0.0004	80000	400	50	0.02
3	.	0.04	0.04	0.0004	.	0.002	0.001	0.00001
4	.	0.02	0.03	0.0002	.	0.4	0.2	0.001
5	.	0.03	0.04	0.0003	.	0.005	0.004	0.00003
6	.	0.02	0.03	0.0002	.	14	1	0.01
7	.	0.02	0.03	0.0002	.	0.1	0.06	0.0004

Critère d'EQM sur les estimations individuelles :

$$\text{EQM}(\hat{\beta}_i) = \frac{1}{N} \sum_{n=1}^N \left(\frac{1}{I} \sum_{i=1}^I \left(\hat{\beta}_i^{(n)} - \beta_i^{(n)} \right)^2 \right)$$

Configurations faiblement bruitées

EQM(β_i)	LIN				STS			
Config.	K	a	b	T_c	K	a	b	T_c
1	0.02	0.03	0.04	0.0004	0.1	0.06	0.007	0.00003
2	0.8	0.4	0.07	0.0004	80000	400	50	0.02
3	.	0.04	0.04	0.0004	.	0.002	0.001	0.00001
4	.	0.02	0.03	0.0002	.	0.4	0.2	0.001
5	.	0.03	0.04	0.0003	.	0.005	0.004	0.00003
6	.	0.02	0.03	0.0002	.	14	1	0.01
7	.	0.02	0.03	0.0002	.	0.1	0.06	0.0004

Critère d'EQM sur les estimations individuelles :

$$\text{EQM}(\hat{\beta}_i) = \frac{1}{N} \sum_{n=1}^N \left(\frac{1}{I} \sum_{i=1}^I \left(\hat{\beta}_i^{(n)} - \beta_i^{(n)} \right)^2 \right)$$

Configurations fortement bruitées

EQM(β_i)	LIN				STS			
Config.	K	a	b	T_c	K	a	b	T_c
1	0.02	0.03	0.04	0.0004	0.1	0.06	0.007	0.00003
2	0.8	0.4	0.07	0.0004	80000	400	50	0.02
3	.	0.04	0.04	0.0004	.	0.002	0.001	0.00001
4	.	0.02	0.03	0.0002	.	0.4	0.2	0.001
5	.	0.03	0.04	0.0003	.	0.005	0.004	0.00003
6	.	0.02	0.03	0.0002	.	14	1	0.01
7	.	0.02	0.03	0.0002	.	0.1	0.06	0.0004

Critère d'EQM sur les estimations individuelles :

$$\text{EQM}(\hat{\beta}_i) = \frac{1}{N} \sum_{n=1}^N \left(\frac{1}{I} \sum_{i=1}^I \left(\hat{\beta}_i^{(n)} - \beta_i^{(n)} \right)^2 \right)$$

➤ Cas favorables au traitement par pixel (STS) :

- ↳ nombre de paramètres à estimer faible
- ↳ nombre d'observations par individu élevé
- ↳ données faiblement bruitées

⇒ L'estimation par linéarisation est meilleure quand ces conditions ne sont plus respectées.

C. Plan d'expérience

➤ **Motivations** : Étude du comportement de l'estimation par linéarisation face à des données structurées spatialement

① **Structure spatiale sur le bruit**

↳ traduit une dépendance des corrections apportées aux images vis-à-vis du POS

② **Structure spatiale sur les paramètres**

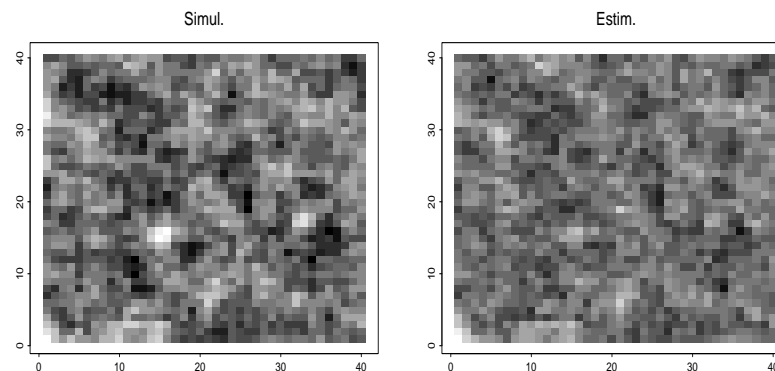
↳ traduit des comportements proches pour le développement de la culture sur des pixels voisins

① Structure spatiale sur l'erreur

↳ L'estimation par linéarisation obtient de bons résultats (critère EQM), comparables au cas où l'erreur est non structurée.

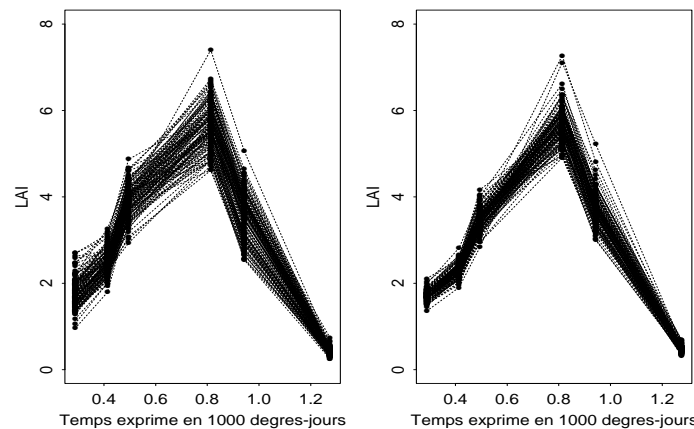
② Structure spatiale sur les paramètres

↳ Bonne estimation des paramètres globaux,
↳ l'estimation des paramètres par linéarisation retrouve les zones homogènes simulées (bruit faible).



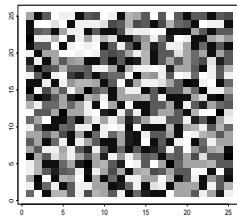
D. Comparaison sur données réelles

- **Motivations** : étude des effets croisés de la procédure d'estimation et de la mise en œuvre de la désagrégation.
- 6 scènes SPOT/HRV (36 km × 36 km, **résolution 20 m**) de la Beauce Chartraine prises entre le 19 mars et le 16 juillet 1996
- Culture d'intérêt : céréales d'hiver (53% du POS)
- Traitement de 1205 pixels kilométriques
- Création de 2 jeux de données

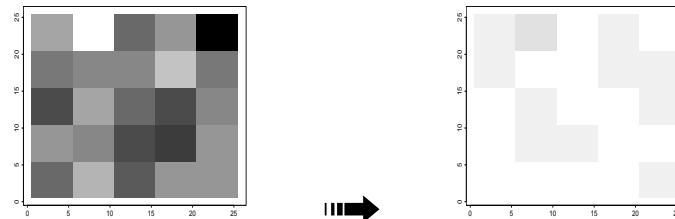
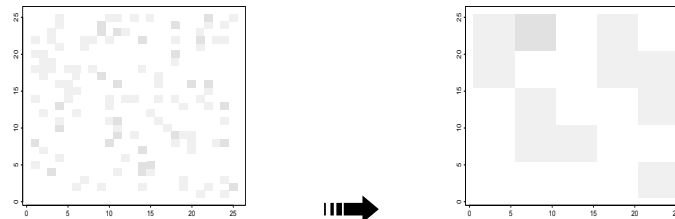


D. Création des 2 jeux de données

Haute résolution

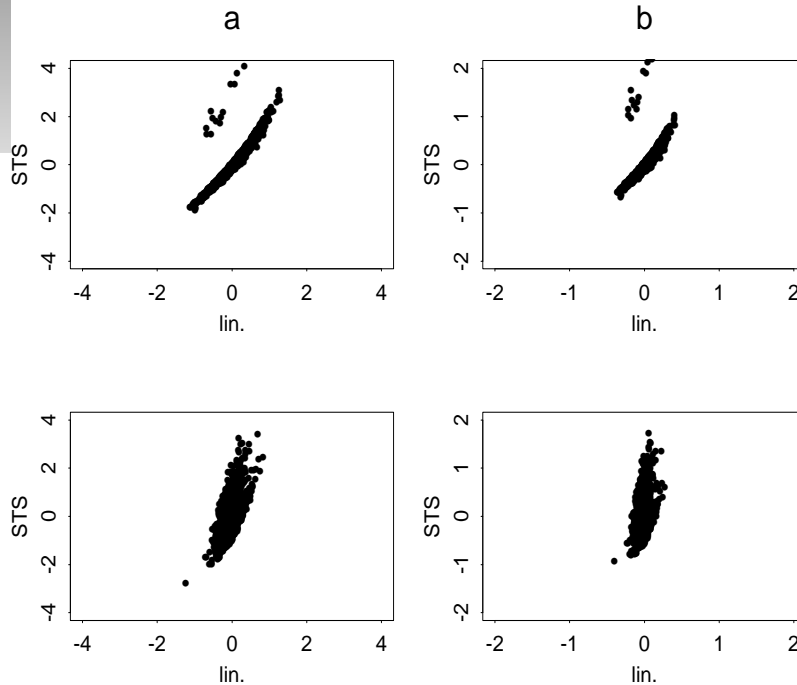


① Pixels purs moyennés



② Pixels mixtes désagrégés

D. Résultats



- Paramètres K et T_c fixés
- STS et LIN varient globalement dans le même sens
- Comportement rétrécisseur de l'estimation par image (/ par pixel)
- Étendue réduite des estimations sur la désagrégation

Écart-type résiduel estimé : ~ 0.5

- ↳ erreur probable de modélisation (\neq simulations)
- ↳ superposition et correction des images

Conclusion générale

- **Contexte** : télédétection spatiale - statistique - agronomie
- **Proposition** : modèle non linéaire à paramètres aléatoires
- **Originalité des travaux** :
 - ↳ nouvelle méthodologie pour le traitement de données de télédétection alternative à une approche par pixel
 - ↳ étude des modèles non linéaires à paramètres aléatoires dans un nouveau cadre d'étude
 - ↳ cartographie de paramètres : dynamique temporelle
- **Résultats** :
 - ↳ synthèse bibliographique
 - ↳ efficacité de l'estimation par linéarisation

➤ Prise en compte d'une **structure spatiale** dans les modèles non linéaires à paramètres aléatoires,

➤ **Coupler** les phases de désagrégation et d'estimation des paramètres du modèle de LAI :

$$Y_i(t) = \sum_{k=1}^p \pi_i^k f^k(t, \beta_i^k) + \eta_i^k \text{ avec } \beta_i^k \sim \mathcal{N}(\beta^k, \sigma^k).$$

➤ Mise en œuvre sur un **cas réel** : couplage avec un modèle de fonctionnement.